

بناء نماذج MARIMA للتنبؤ بالكمية المستهلكة من الكهرباء فى قطاع المنازل

د. مرفت طلعت المحلاوى^(١)

مصطفى يوسف عبد الله^(٢)

ملخص البحث: تم بناء نموذج MARIMA للتنبؤ بالكمية المستهلكة من الكهرباء في قطاع المنازل بجمهورية مصر العربية، باستخدام بيانات سلسلة زمنية من شهر يوليو ١٩٩١ إلى شهر ديسمبر ١٩٩٩ بعد تحديد أهم المتغيرات التفسيرية المؤثرة في الكمية المستهلكة من الكهرباء.

أوضحت النتائج الإحصائية أن أهم المتغيرات التفسيرية المؤثرة في الكمية المستهلكة من الكهرباء هي عدد المشتركين الشهري z_t ومتوسط سعر الكيلو وات/ ساعة في الشهر x_t ، وكان النموذج الملائم للبيانات هو:

$$(1 - 0.33\beta^{12})y_t = 0.000229(1 - \beta)z_{t-1} - 13.46(1 - \beta)x_t + (1 - 0.97\beta)e_t$$

مقدمة:

أدى التطور الحضاري والتكنولوجي للمجتمع إلى زيادة الاعتماد على الطاقة الكهربائية لتغذية أحmal الإنارة والتدفئة والقوى المحركة المختلفة المستخدمة بكثرة في الأغراض الصناعية والتجارية والزراعية والمرافق العامة.

ولأهمية الطاقة الكهربائية وتأثيرها على الإنتاج فإن الدولة تعنى في المقام الأول بتوفير الطاقة الكهربائية اللازمة ل مختلف عناصر الإنتاج والخدمات ومن هذا المنطلق تعمل وزارة الكهرباء والطاقة جادة على توفير الطاقة الكهربائية لكل طالبيها ولمختلف الأغراض، ولقد أثمرت هذه الجهود في الارتفاع بنصيب الفرد من الكهرباء في مصر من ٤٣,٢ كيلووات/ساعة عام ١٩٥٣ إلى ١٣٠٠ كيلووات/ساعة عام ١٩٩٦^(٣) حيث حدثت طفوة في إنتاج الطاقة الكهربائية المولدة سنويًا.

ومع زيادة استهلاك الكهرباء وارتفاع الأسعار العالمية أصبح التخطيط لتوزيع القوى الكهربائية - والذى أهمل في الماضي - ذو أهمية قصوى ويهدف التخطيط في المقام الأول إلى تقليل التكاليف وتحقيق متطلبات الطاقة بمواصفات فنية مناسبة، وللوصول إلى تخطيط جيد

^(١) أستاذ الإحصاء المساعد كلية التجارة - جامعة المنصورة.

^(٢) معيد الإحصاء بالمعهد العالي للحاسب الآلي وإدارة الأعمال - الزرقاء - ديمياط.

^(٣) التقرير الإحصائي السنوي لعامي ٩١/٩٠، ٩٦/٩٧ وزارة الكهرباء والطاقة.

يجب الحصول على نموذج إحصائي يفيد في التنبؤ بالكمية المطلوبة من الكهرباء في المستقبل مما يساعد في وضع الخطط لمقابلة الزيادة المستمرة في الطلب على الكهرباء.

ويهتم الباحث في هذا البحث بالتطبيق على البيانات الخاصة باستهلاك قطاع المنازل حيث أن هذا القطاع يستهلك حوالي ٤٥٪ من إجمالي الاستهلاك الشهري من الطاقة الكهربائية المعايدة على الجهدين المنخفض والمتوسط.

مشكلة البحث:

تتمثل مشكلة البحث في بناء نموذج إحصائي للتنبؤ بالكمية المستهلكة من الكهرباء في قطاع المنازل، وذلك بعد تحديد أهم المتغيرات التفسيرية والتي يمكن أن تشرح وتفسر التغيرات في الكمية المستهلكة من الكهرباء حيث أنأخذ كل المتغيرات في الاعتبار يفقد النموذج أهميته ويزيد من صعوبة العمليات الحسابية الخاصة بتقدير المعامل وتحليل وتفسير النتائج لذلك فإن الباحث يلجأ إلى الالكتاء بعدد محدد من هذه المتغيرات ذات الصلة الوثيقة بالمتغير التابع وهو الكمية المستهلكة التي يكون تأثيرها عليه بدرجة كبيرة.

هدف البحث:

يهدف البحث إلى تحديد أهم المتغيرات المؤثرة في الطلب على الكهرباء في قطاع المنازل وذلك باستخدام أسلوب السلسل الزمنية في ظل وجود متغيرات مستقلة والذي يمكن الباحث من بناء نموذج إحصائي للتنبؤ بالطلب على الكهرباء في قطاع المنازل بجمهورية مصر العربية.

أهمية البحث:

تتمثل الأهمية العلمية لهذا البحث في عرض أسلوب السلسل الزمنية في ظل وجود متغيرات تفسيرية في التنبؤ، وكذلك تحديد أفضل نموذج إحصائي للتنبؤ بالكمية المستهلكة من الكهرباء.

كما ترجع أهمية البحث العملية في إيجاد تنبؤ دقيق للكمية المستهلكة من الكهرباء في قطاع المنازل، مما يفيد في التخطيط والتنمية الاقتصادية حيث أن الكهرباء تمثل الداعمة الرئيسية التي تقوم عليها مشروعات التنمية الصناعية والزراعية والمشروعات التي في مجال الإسكان والخدمات وغيرها.

البحث.

يمكن إيجاز خطة البحث في ثلاثة مراحل كما يلى:

حالة الأولى: تحديد أهم المتغيرات المؤثرة في الكمية المستهلكة من الكهرباء.

الثانية: تطبيق أسلوب السلسل الزمنية في ظل وجود متغيرات تفسيرية MARIMA.

حالة الثالثة : عرض لأهم النتائج والتوصيات.

حالة الأولى: تحديد أهم المتغيرات المؤثرة في الكمية المستهلكة من الكهرباء.

لتحديد أهم المتغيرات التفسيرية المؤثرة في الكمية المستهلكة من الكهرباء التي يمكن طريقها تفسير أكبر قدر من التغيرات التي تحدث في الكمية المستهلكة من الكهرباء، تم ام أسلوب الانحدار التدرجى Stepwise Regression. (عبد القادر محمد (١٩٩٠)) و Robert & Daniel (1991) و (محمد عبد السميم (١٩٩٣))، حيث أن المتغير التابع هو سط الكمية المستهلكة من الكهرباء شهرياً في قطاع المنازل Y_t والمتغيرات التفسيرية هي:

متوسط الكمية المستهلكة من الكهرباء في شهر سابق Y_{t-1} ، متوسط السعر الشهري X_t ، المشتركون في شهر Z_t ، متوسط درجة الحرارة T_t و متوسط الرطوبة النسبية V_t .

ووجد أن أهم المتغيرات التفسيرية التي تؤثر على الكمية المستهلكة من الكهرباء هي عدد المشتركون في شهر Z_t ، و متوسط السعر الشهري X_t .

والجدول (١) يعرض نتائج تقدير معالم النموذج باستخدام أسلوب الانحدار التدرجى الذي يتضح منها معنوية معاملات الانحدار ماعدا الحد الثابت، وتم إعادة التقدير مرة أخرى بدون الثابت.

جدول (١)

تقدير معلمات نموذج الانحدار التدرجى

Variable	β	Std. Error (β)	t	Sig.
(Constant)	-85.211	185.050	- .460	.646
Consumers (Z_t)	0.00023	.000	29.795	.000
Price (x_t)	-17.208	2.942	-5.849	.000

ويعرض الجدول (٢) نتائج التقدير لمعلمات النموذج باستخدام طريقة الانحدار المترادج بدون الحد الثابت، ويتبين من الجدول معنوية معاملات الانحدار، وكانت قيمة معامل التحديد (0.997) والتي تعنى أن عدد المشتركين ومتوسط السعر الشهري يفسراً حوالي ٩٩,٧٪ من التغير في الكمية المستهلكة من الكهرباء . أما قيمة الإحصائي درين واتسون (2.112) والتي تعنى عدم وجود ارتباط ذاتي بين حدود الخطأ في النموذج، وكانت قيمة 19312.0 = F و $Sig=0.000$ مما يؤكّد معنوية النموذج المقدر، وكذلك توافق النتائج مع النظرية الاقتصادية حيث أن إشارة المتغير X_t (السعر) سالبة مما يتواافق مع العلاقة العكسية بين السعر والكمية المستهلكة، وإشارة عدد المشتركين Z_t موجبة، مما يتواافق مع العلاقة الطرديّة بين عدد المشتركين والكمية المستهلكة من الكهرباء .

جدول (٢)

تقدير معلمات نموذج الانحدار المترادج بدون الثابت

Variable	β	Std. Error (β)	t	Sig.
Consumers (Z_t)	0.00023	.000	31.630	.000
Price (x_t)	-18.459	1.121	-16.463	.000

وبذلك يكون النموذج المقدر:

$$\hat{y}_t = 0.00023 Z_t - 18.459 X_t \quad (1)$$

المرحلة الثانية: تطبيق أسلوب السلسل الزمنية في ظل وجود متغيرات تفسيرية MARIMA في حالة وجود أكثر من متغير مستقل ($x_i, i=1,2,\dots,m$) يمكن كتابة نموذج دالة التحويل على الصورة:

$$y_t = \sum_{i=1}^m \frac{\omega_i(B)}{\delta_i(B)} x_{i,t-b} + \frac{\theta(B)}{\phi(B)} a_t \quad (2)$$

$$\omega(\beta) = \omega_0 - \omega_1\beta - \omega_2\beta^2 - \dots - \omega_s\beta^s$$

$$\delta(\beta) = 1 - \delta_1\beta - \delta_2\beta^2 - \dots - \delta_r\beta^r$$

$$\phi(\beta) = 1 - \phi_1\beta - \phi_2\beta^2 - \dots - \phi_p\beta^p$$

$$\theta(\beta) = 1 - \theta_1\beta - \theta_2\beta^2 - \dots - \theta_q\beta^q$$

حيث: تشير m لعدد المتغيرات المستقلة في النموذج، و a قيمة معامل الإبطاء وهي تساوي قيمة الفجوة الزمنية المناظرة لأول معامل معنوي من معاملات الارتباط المستعرض، β درجة كثيرة حدود المقام (β)، بفحص معاملات الارتباط المستعرض وببحث أي نمط موجود فيها، فإذا وجد نمط فإن هذا النمط يناظر دالة الارتباط الذاتي لنموذج AR، وإن لم يوجد أي نمط من أنماط نماذج الانحدار الذاتي فان $\beta = 0$ ، فيمكن وبالتالي التعرف على m من خلال التشابه بين معاملات الارتباط المستعرض وبين نمط دالة الارتباط الذاتي لعملية من عمليات الانحدار الذاتي، أما S درجة كثيرة حدود البسط (β)، وهي عدد الفترات التي يتأخر فيها ظهور نمط AR. وإذا لم يوجد نمط لعملية AR دالة الارتباط الذاتي المستعرض، فإننا نستنتج وجود عالم البسط فقط وعدها m كما نستنتج أن S تساوي عدد معاملات الارتباط المستعرض غير الصفرية ناقصا واحدا.

إن الخطوة الأولى في بناء نموذج دالة التحويل هي بناء نموذج ARIMA ذو المتغير الواحد الملائم لبيانات الكمية المستهلكة من الكهرباء في قطاع المنازل y_t ، وكذلك الحصول على نموذج ARIMA الملائم لبيانات المتغير المستقل عدد المشترين Z_t ، وبنفس الخطوات الأربع المعروفة لبناء نماذج ARIMA لبوكس – جنكينز (التعرف Identification – التقدير Estimation – فحص مدى ملائمة النموذج Diagnostic checking – والتتبؤ Forecasting) قد تم الحصول على نموذج ARIMA ذو المتغير الواحد للكمية المستهلكة من الكهرباء وكان النموذج الملائم هو $ARIMA(0,1,1)$ (Marc & Jose (1995)) (Forecasting) وقد تم الحصول على نموذج ARIMA ذو المتغير الواحد للكمية المستهلكة من الكهرباء وكان النموذج الملائم هو $ARIMA(2,3,0)$ (Mervat & Mostafa (1999)) (2,3,0)₁₂، والذي تم تقدير معالمه على النحو التالي:

$$(1 + .95 \beta^{12} + .63 \beta^{24}) (1 - \beta^{12})^3 y_t = (1 - 0.97 \beta) a_t \quad (3)$$

وبنفس الخطوات يمكن الحصول على النموذج الملائم لعدد المشترين Z_t ، وكانت النماذج المقترحة من خلال دراسة الشكل البياني لدالة الارتباط الذاتي والارتباط الذاتي الجزئي بعدأخذ الفروق الأولى الموسمية وغير الموسمية الازمة لسكنى السلسلة هي:

- 1 - ARIMA (0,1,1) (0,1,1)₁₂
- 2- ARIMA (1,1,1) (0,1,1)₁₂
- 3- ARIMA (1,1,0) (0,1,1)₁₂
- 4- ARIMA (0,1,2) (0,1,1)₁₂
- 5- ARIMA (0,1,2) (0,1,2)₁₂

جدول (٣) تدبير معلمات النماذج المقترحة

Models		ϕ_1	θ_1	θ_2	Θ_{12}	Θ_{24}	δ	AIC/SBC
(1)	B		-.13		.41		7096.57	(2099.2)(2106.6)
	T-Ratio		-1.28		3.15*		2.93*	
(2)	B	.58	.38		.38		6910.73	(2098.8)(2108.8)
	T-Ratio	1.26	.95		2.87*		2.13*	
(3)	B	.19			.40		7051.07	(2098.2)(2105.6)
	T-Ratio	1.84			3.04*		2.64*	
(4)	B		-.22	-.28	.39		6933.58	(2095.3)(2105.2)
	T-Ratio		-2.14*	-2.75*	2.87*		2.15*	
(5)	B		-.22	-.29	.39	.10	6763.47	(2096.7)(2109.2)
	T-Ratio		-2.20*	-2.79*	2.74*	.39	2.31*	

* Significant statistic at level 5%

وجدول (٣) يوضح تدبير معلمات النماذج المقترحة وقيم معيار المعلمات لأكيابي (AIC) ومعيار بيز لشوارتز (SBC) (!). نلاحظ من خلال قيم T-Ratio أن كل معلمات النموذج (٤) معنوية وتحقق شروط السكون، وطبقاً لمعياري AIC, SBC يفضل النموذج (٤) لأن له أقل قيمة لكل من المعياريين (Enders 1996) و(Mills 1992). ومن ثم يمكن كتابة النموذج على الصورة التالية:

$$(1-\beta)(1-\beta^{12}) z_t = (1 + 0.22\beta + 0.28\beta^2) (1 - 0.39\beta^{12}) \alpha_{1t} \quad (4)$$

ثاني خطوة التعرف على نموذج MARIMA (Stephen 1998) هي تنقية ARIMA البيانات (٢) (Prewhitenning the data) لسلسلة المتغير التابع y_t باستخدام نموذج ARIMA الخاص بعمليه المتغير المستقل x_t وتقدير الخطأ η_{1t}

$$(1-\beta)(1-\beta^{12}) y_t = (1 - 0.22\beta - 0.28\beta^2) (1 - 0.39\beta^{12}) \eta_{1t} \quad (5)$$

ويعرض شكل (١) دالة الارتباط المستعرض بين α_{1t} بوأى نموذج ARIMA لعدد المشترين (z_t) وبين η_{1t} بوأى نموذج ARIMA للكمية المستهلكة من الكهرباء (y_t) في المعادلة (٥)، من خلال الشكل نجد أن أول معامل ارتباط معنوي عند ($k=1$) ولا يوجد أي نمط

(١) ملحق رقم (١)

(٢) ملحق رقم (٢)

من أنماط الانحدار الذاتي AR(p)، مما نستنتج أن ($s=0, r=0, b=1$)، ومن ثم يمكن تدوير نموذج (1) MARIMA(0, 0, 1)، الذي يمكن كتابته على الصورة:

$$Y_t = \omega_0 Z_{t-1} + \frac{e_t}{1-\beta} \quad (1-\beta)Y_t = 0.000207(1-\beta)Z_{t-1} + e_t \quad (t = 29.149) \quad (6)$$

وكانَت قيمة $\bar{R}^2 = 0.895$ و $D.W = 0.17$ ونلاحظ ارتفاع قيمة معامل التحديد المعدل ووفع قيمة D.W في منطقة لا قرار بالنسبة لوجود ارتباط ذاتي.

وبدراسة الشكل (٢) حيث يعرض دالة الارتباط الذاتي لبواقي النموذج نجد إنها لا تمثل تغيرات عشوائية بحثة، (أى يجب تعديل النموذج) وبإجراء التعديل المستمر للنموذج من خلال دراسة دالة الارتباط الذاتي والارتباط الذاتي الجزئي للأخطاء وجد أن النموذج في ظل نموذج (1, 0, 0) يكون ملائم للبيانات MARIMA(0, 0, 1) ويكتب النموذج على الصورة (0) MARIMA(0, 0, 1) ARIMA(0, 1, 1) (1, 0, 0) وكانت تغيرات معلمات النموذج كما يلى:

جدول (٤)

تغير معلمات النموذج (0) MARIMA(0, 0, 1) ARIMA(0, 1, 1) (1, 0, 0)

		θ_1	Φ_{12}	Z_{t-1}	AIC/SBC	\bar{R}^2
	β	0.97	0.44	0.00020		
	T-Ratio	18.03	4.28	15.93	(1154.67)(1162.48)	0.911

وكانَت قيمة $D.W = 1.82$ مما يدل على عدم وجود ارتباط ذاتي بين الأخطاء في النموذج. وبدراسة الشكل (٣) حيث يعرض دالة الارتباط الذاتي لبواقي النموذج نجد إنها تمثل تغيرات عشوائية بحثة، حيث لا يوجد إلا معامل واحد فقط عند ($k=10$) يقع خارج فترة الثقة، وهذا ما يؤكد ملائمة النموذج للبيانات.

وبهذا يكون النموذج المقدر:

$$(1 - 0.44\beta^{12})(1 - \beta)Y_t = 0.000207(1 - \beta)Z_{t-1} + (1 - 0.97)e_t \quad (7)$$

Cross Correlations: EHR_3 Error for Yt from ARIMA, MOD_4 CON
 EHR_4 Error for St from ARIMA, MOD_4 CON

Lag	Corr.	Ehr.	Stand.								
			-1	-.75	-.5	-.25	0	.25	.5	.75	1
-24	-.143	.124					***I				
-23	.201	.123					I****				
-22	-.028	.122					*I				
-21	.048	.121					I*				
-20	-.151	.120					***I				
-19	.009	.120					*				
-18	.108	.119					I**				
-17	-.024	.118					*				
-16	.162	.117					I***				
-15	-.066	.116					*I				
-14	.121	.115					I**				
-13	-.017	.115					*				
-12	.113	.114					I**				
-11	-.051	.113					*I				
-10	-.034	.113					*I				
-9	-.029	.112					*I				
-8	-.008	.111					*				
-7	.216	.110					I****				
-6	-.214	.110					***I				
-5	.134	.109					I***				
-4	.055	.108					I*				
-3	.172	.108					I***				
-2	-.046	.107					*I				
-1	-.124	.107					**I				
0	.030	.106					I*				
1	-.235	.107					***I				
2	.085	.107					I**				
3	-.082	.108					*I				
4	.209	.108					I****				
5	.183	.109					***I				
6	.067	.110					I*				
7	.184	.110					I***				
8	-.175	.111					***I				
9	.034	.112					I*				
10	-.184	.113					***I				
11	-.073	.113					*I				
12	.054	.114					I*				
13	-.081	.115					*I				
14	.112	.115					I**				
15	.009	.116					*				
16	.030	.117					I*				
17	-.003	.118					*				
18	.019	.119					*				
19	-.027	.120					*I				
20	.104	.120					I**				
21	-.077	.121					**I				
22	.082	.122					I**				
23	.081	.123					I**				
24	-.081	.124					**I				

شكل (١) دالة الارتباط الذاتي للمستعرض بين بوالى المودج المقدر ($\hat{\alpha}_{11}$)
 وبوالى نموذج السلسل الزمانية ذو المتغير الواحد للمتغير (z_4)

Lag	Corr.	Err.	Auto-Stand.									Box-Ljung	Prob.
			-1	-.75	-.5	-.25	0	.25	.5	.75	1		
1	.131	.099					I***					1.759	.185
2	.059	.098					I*					2.127	.345
3	-.142	.098					****I					4.245	.236
4	-.202	.097					****I					8.568	.073
5	-.189	.097					****I					12.413	.030
6	-.074	.096					I*					13.006	.043
7	-.033	.095					I*					13.126	.069
8	-.018	.095					I*					13.160	.106
9	-.008	.094					I*					13.168	.155
10	.169	.094					I***					16.399	.089
11	.110	.093					I**					17.781	.087
12	.357	.093					I***, ***					32.526	.001
13	.084	.092					I**					33.348	.002
14	-.077	.092					I**					34.060	.002
15	-.229	.091					****I					40.348	.000
16	-.079	.091					I**					41.108	.001
17	-.127	.090					****I					43.105	.000
18	.150	.090					I***					45.907	.000
19	-.054	.089					I*					46.280	.000
20	-.020	.089					I*					46.330	.001
21	-.049	.088					I*					46.634	.001
22	-.003	.087					I*					46.635	.002
23	.132	.087					I***					48.938	.001
24	.168	.086					I***					52.714	.001

شكل (٢) دالة الارتباط الذاتي لبواقي النموذج

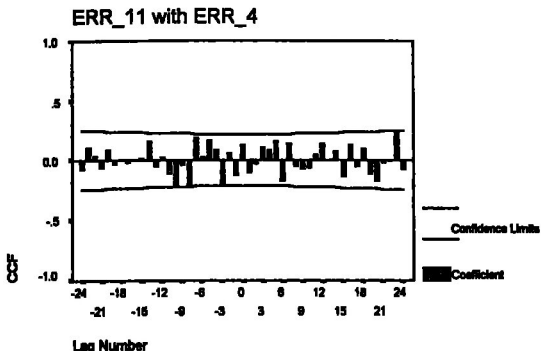
Autocorrelations: ERR_11 Error for Y2 from ARIMA, MOD_16 NOCON

Lag	Corr.	Err.	Auto-Stand.									Box-Ljung	Prob.
			-1	-.75	-.5	-.25	0	.25	.5	.75	1		
1	.073	.099					I*					.556	.456
2	.025	.098					*					.621	.733
3	-.063	.098					I*					1.032	.793
4	-.219	.097					****I					6.106	.191
5	-.182	.097					****I					9.654	.086
6	-.156	.096					****I					12.298	.056
7	.056	.095					I*					12.642	.081
8	.044	.095					I*					12.861	.117
9	.071	.094					I*					13.419	.145
10	.230	.094					I***,*					19.431	.035
11	.055	.093					I*					19.774	.049
12	.017	.093					*					19.807	.071
13	.013	.092					*					19.828	.100
14	-.034	.092					I*					19.966	.131
15	-.177	.091					****I					23.713	.070
16	-.004	.091					*					23.715	.096
17	-.026	.090					I*					23.801	.125
18	.154	.090					I***,					26.759	.084
19	-.017	.089					*					26.796	.109
20	.043	.089					I*					27.028	.134
21	-.020	.088					*					27.080	.168
22	-.046	.087					I*					27.360	.198
23	.081	.087					I**,					28.239	.207
24	-.044	.086					I*					28.503	.239

شكل (٣)

دالة الارتباط الذاتي لبواقي النموذج
MARIMA (0, 0, 1) ARIMA (0, 1, 1) (1, 0, 0)

يعرض الشكل (٤) دالة الارتباط الذاتي المستعرض بين بوأقى النموذج المقدر وبوأقى نموذج السلسلة الزمنية ذو المتغير الواحد z_1 (α_{11})، ويتبين من الشكل عدم معنوية معاملات الارتباط المستعرض، مما يؤكد ملائمة النموذج المقدر للبيانات.



شكل (٤) دالة الارتباط الذاتي المستعرض بين بوأقى النموذج المقدر
وبوأقى نموذج السلسلة الزمنية ذو المتغير الواحد للمتغير z_1

بناء النموذج في ظل وجود المتغير X_t (متوسط سعر الكيلو وات/ساعة في الشهر)
في النموذج، يلزم ذلك أولاً بناء نموذج ARIMA للمتغير X_t .

وبنفس خطوات بناء نموذج ARIMA للكمية المستهلكة من الكهرباء، يمكن بناء
النموذج الخاص بمتوسط السعر، ولكن نكتفى هنا بعرض النتائج الخاصة ببناء نموذج
ARIMA الخاص بمتوسط السعر الشهري للكيلو وات من الكهرباء X_t .
وكانت النماذج المقترنة وتقديراتها كما يلى:

- 1 - ARIMA (0,1,0) (0,1,1)₁₂
- 2-ARIMA (1,1,0) (0,1,1)₁₂
- 3- ARIMA (1,1,1) (0,1,1)₁₂
- 4- ARIMA (2,1,1) (0,1,1)₁₂

جدول (٥)

تقدير معلمات النماذج المقترنة

Models		ϕ_1	ϕ_2	θ_1	Θ_{12}	δ	AIC/SBC
(1)	β				.84		(390.16)(392.64)
	T-Ratio				3.83*		
(2)	β	.08			.84	.02	(393.06)(400.53)
	T-Ratio	.085			3.79*	.29	
(3)	β	-.73		-.91	.86		(388.60)(396.07)
	T-Ratio	-5.52*		-9.69*	3.42*		
(4)	β	.85	-.28	.90	.81		(380.60)(390.56)
	T-Ratio	7.56*	-2.73	11.12*	4.08*		

* Significant statistic at level 5%

نلاحظ ان كل معلمات النموذجين (3) و (4) معنوية وتحقق شروط السكون والانعكاس، وطبقاً لمعايير AIC, SBC يفضل النموذج (4) لأن له أقل قيمة لكلا المعياريين. وبعرضن شكل (5) دالة الارتباط الذاتي لبواقي النموذج (4) ونجد أن البواقي تتبع داخل فترة التقى أى إنها تغيرات عشوائية بحثة، مما يدل على ملائمة النموذج للبيانات.

يمكن كتابة النموذج على الصورة:

$$(1 - 0.85\beta + 0.28\beta)(1-\beta)(1-\beta^{12})x_t = (1 - 0.90\beta)(1 - 0.81\beta^{12})\alpha_{2t} \quad (8)$$

ثم يتم إحلال y_t بدلاً من x_t في النموذج (5) وتقدير الخطأ η_{2t}

$$(1 - 0.85\beta + 0.28\beta)(1-\beta)(1-\beta^{12})y_t = (1 - 0.90\beta)(1 - 0.81\beta^{12})\eta_{2t}$$

Autocorrelations: ERR_18 Error for X2 from ARIMA, MOD_26 NOCON

lag	Auto-Corr.	Stand. Err.	-1	-.75	-.5	-.25	0	.25	.5	.75	1	Box-Ljung	Prob.
			+	+	+	+	+	+	+	+	+		
1	-.003	.104			*	.						.001	.973
2	-.117	.104				*	.					1.278	.528
3	.066	.103					*	.				1.691	.639
4	.034	.102					*	.				1.801	.772
5	-.019	.102					*	.				1.837	.871
6	-.198	.101					***	.				5.688	.459
7	-.108	.101					**	.				6.850	.445
8	.002	.100					*	.				6.851	.553
9	.166	.099					***	.				9.624	.382
10	.074	.099					*	.				10.188	.424
11	.039	.098					*	.				10.349	.499
12	-.048	.098					*	.				10.563	.567
13	.066	.097					*	.				11.030	.608
14	-.039	.096					*	.				11.194	.671
15	-.027	.096					*	.				11.271	.733
16	-.126	.095					***	.				13.039	.670
17	-.058	.094					*	.				13.416	.708
18	.096	.094					*	.				14.462	.699
19	-.098	.093					**	.				15.562	.686
20	.049	.092					*	.				15.845	.726
21	.106	.092					*	.				17.181	.700
22	.043	.091					*	.				17.404	.741
23	-.037	.090					*	.				17.873	.780
24	-.167	.090					***	.				21.032	.637

(٥) شكل

دالة الارتباط الذاتي لباقي النموذج₁₂ ARIMA (2,1,1) (0,1,1)

ويعرض شكل (٦) دالة الارتباط المستعرض بين α_{21} بباقي نموذج ARIMA لمتوسط السعر الشهري للكيلو وات / ساعة (X_t) وبين α_{21} بباقي نموذج ARIMA للكمية المستهلكة من الكهرباء (y_t), ومن خلال الشكل نجد أن أول معامل ارتباط معنوي يكون عند ($k=0$) ولا يوجد أي نمط من انماط الانحدار الذاتي (AR)(p)، مما يستنتج أن ($s=0, r=0, b=0$)، ومن ثم يمكن تثبيت النموذج MARIMA(0, 0, 0)

الذى يمكن كتابته على الصورة:

$$Y_t = \omega_0 X_t + \frac{e_t}{1 - \beta} \quad (1 - \beta) Y_t = -14.47(1 - \beta) X_t + e_t \quad (t = -2.72) \quad (9)$$

وكانت قيمة $R^2 = .83$ و $D.W = 2.97$ وللاظهار ارتفاع قيمة معامل التحديد المعدل ووقوع قيمة D.W في منطقة لا قرار بالنسبة لوجود ارتباط ذاتي بين بباقي النموذج.

وبدراسة الشكل (٦) حيث يعرض دالة الارتباط الذاتي لباقي النموذج نجد إنها لا تمثل تغيرات عشوائية بحثة، (أى يجب تعديل النموذج) وبإجراء التعديل المستمر للنموذج وجد أن النموذج (٦) في ظل نموذج (١) $(0, 0, 1)$ ملائم ARIMA(0, 0, 0) MARIMA(0, 0, 0) ARIMA(0, 1, 1) (0, 0, 1) MARIMA(0, 0, 0) للبيانات، ويكتب على الصورة (٦) كما يلى:

جدول (٥)

تغير معلمات النموذج (٦)

		θ_1	Θ_{12}	x_t	AIC/SBC	\bar{R}^2
	B	.69	-.40	-13.13	(1173.71)(1181.58)	0.90
	T-Ratio	9.7*	-3.7*	-3.58*		

وكان قيمـة $D.W = 2.09$ مما يدل على عدم وجود ارتباط ذاتي بين بـاـقـيـ النـمـوذـجـ.

ويكون النـمـوذـجـ المـقـدـرـ:

$$(1-\beta)Y_t = -13.13 (1-\beta)X_t + (1-0.69\beta) (1+0.40\beta^{12})e_t \quad (10)$$

وبدراسة الشكل (٧) حيث يعرض دالة الارتباط الذاتي لباقي النموذج نجد إنها تمثل تغيرات عشوائية بحثة، وهذا ما يؤكده الإحصائي Q حيث $Q(12) = 12.83$ و $Sig = .382$ وكذلك $Q(12) = 25.852$ و $Sig = .361$ ، مما يدل على ملائمة النـمـوذـجـ المـقـدـرـ للـبـاـيـانـاتـ محل الدراسة.

Cross Correlations: ERR_12 Error for Y2 from ARIMA, MOD_28 NOCOM
ERR_E18 Error for X2 from ARIMA, MOD_26 NOCOM

Lag	Corr.	Err.	Cross Stand.								
			-1	-.75	-.5	-.25	0	.25	.5	.75	1
-24	.239	.124	.	I*****							
-23	-.101	.123	.	**I							
-22	-.003	.122	.	*							
-21	.010	.121	.	*							
-20	-.069	.120	.	*I							
-19	-.030	.120	.	*I							
-18	-.088	.119	.	**I							
-17	.062	.118	.	I*							
-16	.055	.117	.	I*							
-15	-.060	.116	.	*I							
-14	.321	.115	.	I****,*							
-13	-.026	.115	.	*I							
-12	-.198	.114	.	****I							
-11	.207	.113	.	I****							
-10	-.233	.113	.	*****I							
-9	-.248	.112	.	*.****I							
-8	-.043	.111	.	*I							
-7	.057	.110	.	I*							
-6	.063	.110	.	I*							
-5	.110	.109	.	I**							
-4	.376	.108	.	I****,****							
-3	.172	.108	.	I***,							
-2	.001	.107	.	*							
-1	-.123	.107	.	**I							
0	-.237	.106	.	****I							
1	-.148	.107	.	****I							
2	-.160	.107	.	****I							
3	-.076	.108	.	**I							
4	-.026	.108	.	*I							
5	.105	.109	.	I**							
6	.189	.110	.	I****							
7	.168	.110	.	I***,							
8	.004	.111	.	*							
9	-.145	.112	.	****I							
10	-.035	.113	.	*I							
11	-.033	.113	.	*I							
12	.038	.114	.	I*							
13	-.148	.115	.	****I							
14	-.005	.115	.	*							
15	.013	.116	.	*							
16	.247	.117	.	I****							
17	-.026	.118	.	*I							
18	-.122	.119	.	**I							
19	.134	.120	.	I***							
20	-.019	.120	.	*							
21	-.117	.121	.	**I							
22	-.069	.122	.	*I							
23	.029	.123	.	I*							
24	.020	.124	.	*							

شكل(٦) دالة الارتباط الذاتي للمتغير بين بوالى التموذج المقدر (η_{2t})
وبوالى تموذج السلاسل الزمنية ذو المتغير الواحد للمتغير X_t

Autocorrelations: ERR_16 Error for Y2 from ARIMA, MOD_37 NOCON

Lag	Auto-Corr.	Stand. Err.	-1	-.75	-.5	-.25	0	.25	.5	.75	1	Box-Ljung	Prob.
			+	---	+	+	+	+	+	+	+		
1	-.120	.098			.	**I	.					1.497	.221
2	-.070	.098			.	*I	.					2.008	.366
3	.056	.097			.	I*	.					2.342	.505
4	-.109	.097			.	**I	.					3.623	.459
5	-.140	.096			.	***I	.					5.744	.332
6	-.022	.096			.	*	.					5.795	.447
7	.124	.095			.	I**	.					7.501	.379
8	.022	.095			.	*	.					7.555	.478
9	-.078	.094			.	**I	.					8.234	.511
10	.199	.094			.	I****	.					12.782	.236
11	.016	.093			.	*	.					12.814	.306
12	-.012	.092			.	*	.					12.830	.382
13	.064	.092			.	I*	.					13.314	.424
14	.023	.091			.	*	.					13.375	.497
15	-.190	.091			.	****I	.					17.728	.277
16	.102	.090			.	I**	.					18.995	.269
17	.035	.090			.	I*	.					19.149	.320
18	.115	.089			.	I**	.					20.806	.289
19	-.067	.089			.	*I	.					21.375	.316
20	.022	.088			.	*	.					21.437	.372
21	-.061	.088			.	*I	.					21.925	.404
22	-.130	.087			.	***I	.					24.152	.339
23	.073	.087			.	I*	.					24.854	.358
24	.086	.086			.	I**	.					25.852	.361

شکل (۷)

DARIMA(0, 0, 0) ARIMA(0, 1, 1) (0, 0, 1) دالة الارتباط الذاتي ليوافي النموذج

بناء النموذج النهائي:

تم تقدير معلمات النموذج الذى يحتوى على المتغيرين X_t ، Z_t على أساس المعلومات السابق معرفتها من النمونجين السابقين (نموذج Z_{t-1} ونموذج X_t كلا على حده) وكانت نتائج التقدير كما يلى:

وكانت قيمة $R^2 = 0.92$ و نلاحظ ارتفاع قيمة معامل التحديد المعدل، وبدراسة الشكل (٨) حيث يعرض دالة الارتباط الذاتي ليواقي النموذج نجد إنها لا تمثل تغيرات عشوائية بحتة، (أى يجب تعديل النموذج) وبإجراء التعديل المستمر للنموذج وجد أن النموذج الملائم هو نموذج ARIMA(0, 1, 1)(1, 0, 0) MARIMA في ظل نموذج (٩) دالة حيث يعرض شكل (٩) دالة الارتباط الذاتي ليواقي النموذج نجد إنها لا تمثل تغيرات عشوائية بحتة، وكانت تقديراته موضحة في جدول (٦).

Autocorrelations: ERR_18 Error for Y2 from ARIMA, MOD_2 NOCOM

Lag	Auto-Corr.	Stand. Err.	-1	-.75	-.5	-.25	0	.25	.5	.75	1	Box-Ljung	Prob.
1	-.060	.099					*					.367	.544
2	-.008	.098					*					.374	.829
3	-.059	.098					*					.735	.865
4	-.048	.097					*					.969	.912
5	-.085	.097					*					1.768	.880
6	-.018	.096					*					1.807	.937
7	.039	.095					*					1.970	.961
8	-.034	.095					*					2.105	.978
9	-.129	.094					*					3.959	.914
10	.059	.094					*					4.360	.930
11	-.025	.093					*					4.429	.956
12	.238	.093					*	*	*	*		10.967	.832
13	.014	.092					*					10.991	.812
14	-.062	.092					*					11.446	.651
15	-.234	.091					*	*	*	*		18.008	.262
16	.060	.091					*					18.449	.298
17	-.080	.090					*	*	*	*		19.227	.316
18	.122	.090					*	*	*	*		21.079	.275
19	-.109	.089					*	*	*	*		22.565	.257
20	-.021	.089					*					22.621	.308
21	-.048	.088					*					22.936	.347
22	-.100	.087					*					24.231	.335
23	.064	.087					*					24.774	.362
24	.142	.086					*	*	*	*		27.465	.263

(٨) شكل

دالة الارتباط الذاتي لبيانات النموذج

جدول (٦)

تقدير معلمات النموذج MARIMA

		θ_1	Φ_{12}	Z_{4-1}	X_t	AIC/SBC
B	.97	.33		.000229	-13.46	(1138.34)(1148.7)
	T-Ratio	13.54*	3.18*	19.2*	-4.54*	

وكان تقييم $R^2 = 0.924$ و $D.W = 2.1$ مما يدل على عدم وجود ارتباط ذاتي.

ويمكن كتابة النموذج المقدر على الصورة:

$$(1 - 0.33\beta^{12})(1 - \beta)Y_t = 0.000229(1 - \beta)Z_{4-1} - 13.46(1 - \beta)X_t + (1 - 0.97\beta)e_t \quad (12)$$

Lag	Auto-Corr.	Stand. Err.	-1	- .75	- .5	- .25	0	.25	.5	.75	1	Box-Ljung	Prob.
1	-.067	.099					*	I				.467	.494
2	-.016	.098					*					.494	.781
3	.034	.098					I*					.612	.894
4	-.099	.097					**I					1.653	.799
5	-.105	.097					**I					2.832	.726
6	-.079	.096					**I					3.504	.743
7	.097	.095					I**					4.536	.716
8	-.025	.095					*					4.603	.799
9	-.092	.094					**I					5.561	.783
10	.150	.094					I***					8.116	.617
11	-.007	.093					*					8.123	.702
12	-.010	.093					*					8.134	.775
13	.008	.092					*					8.142	.834
14	-.009	.092					*					8.151	.881
15	-.224	.091					****I					14.186	.511
16	.056	.091					I*					14.561	.557
17	-.045	.090					*I					14.815	.609
18	.096	.090					I**					15.951	.596
19	-.100	.089					**I					17.200	.576
20	.003	.089					*					17.201	.640
21	-.035	.088					*I					17.358	.689
22	-.102	.087					**I					18.725	.662
23	.085	.087					I**					19.672	.662
24	.041	.086					I*					19.899	.702

(٩) شكل

دالة الارتباط الذاتي لبواقي النموذج النهائي

التنبؤ Forecasting

بعد تقدير معالم نموذج MARIMA والتأكد من ملائمتها للبيانات يتم استخدام النموذج في التنبؤ بالكمية المستهلكة من الكهرباء، حيث يمكن عرض نموذج دالة التحويل على الصورة:

$$(1 - 0.33\beta^{12})(1 - \beta)y_t = 0.000229(1 - \beta)z_{t-1} - 13.46(1 - \beta)x_t + (1 - 0.97\beta)e_t$$

$$y_t - y_{t-1} - 0.33(y_{t-12} - y_{t-13}) = 0.000229(z_{t-1} - z_{t-2}) - 13.46(x_t - x_{t-1}) + e_t - 0.97e_{t-1}$$

$$y_t = y_{t-1} + 0.33(y_{t-12} - y_{t-13}) + 0.000229(z_{t-1} - z_{t-2}) - 13.46(x_t - x_{t-1}) + e_t - 0.97e_{t-1}$$

ويستخدم البيانات المتاحة في الفترة الزمنية n يمكننا حساب متوسط التنبؤ $E(y_{n+h})$

حيث تشير n إلى الفترة الزمنية الحالية التي يتم حساب التنبؤ عندها، أما h فتشير إلى أفق التنبؤ.

$$y_{t+h} = y_t + 0.33(y_{t-11} - y_{t-12}) + 0.000229(z_{t-1} - z_{t-2}) - 13.46(x_{t+1} - x_t) + e_{t+1} - 0.97e_t$$

وباستبدال الأخطاء اللاحقة e_{n+j} ، $e_{n+j} < 0$ بقيمها المتوقعة حيث أنها تغيرات

عشوانية بحثة فإن توقعها = الصفر، وباستمرار التعويض عن القيم المشاهدة والمتواعدة في

العلاقة (8) يمكن حساب متوسط التنبؤ $E(y_{n+h})$

$$y_{103} = y_{102} + 0.33(y_{91} - y_{90}) + 0.000229(z_{102} - z_{101}) - 13.46(x_{103} - x_{102}) - 0.97e_{102}$$

وبذلك يمكن استمرار التعريض في النموذج السابق الحصول على القيم المستقبلية للكهرباء المستهلكة من الكهرباء، نلاحظ من الجدول (٧) الذي يعرض القيم الفعلية و القويم المقدرة باستخدام نموذج MARIMA قرب القيم المقدرة من القيم الفعلية وهذا ما يؤكد الشكل (١٠) حيث يعرض القيم الفعلية و القيم المقدرة في فترة التقدير و فترة التنبؤ، وهذا بالتبعية يؤكد ملائمة النموذج للبيانات.

وبإجراء اختبار χ^2 لاختبار عدم وجود فرق معنوي بين القيم المقدرة والفعالية، وجد أن قيمة χ^2 المحسوبة تساوى (5.08) و عند درجات حرية 5 ومستوى معنوية 5% وجد أن القيمة الجدولية تساوى (11.07)، وبذلك تكون القيمة المحسوبة أقل من القيمة الجدولية مما يؤكد عدم وجود فرق معنوي بين القيم المقدرة والفعالية، مما يؤكد ملائمة النموذج للتنبؤ بالكمية المستهلكة من الكهرباء في قطاع المنازل.

جدول (٧)

القيم التنبؤية والقيم الفعلية للكمية المستهلكة من الكهرباء في قطاع المنازل

		Forecast values	Future observed values
2000	JAN	2119.65	2150.21
	FEB	2172.89	2128.54
	MAR	1555.25	1623.76
	APR	1839.30	1860.12
	MAY	1544.71	1527.55
	JUN	1527.99	1553.16

الميزة الإضافية لنموذج MARIMA

لتحديد الميزة الإضافية لنموذج MARIMA عن نموذج ARIMA في نفس

\bar{R}^2

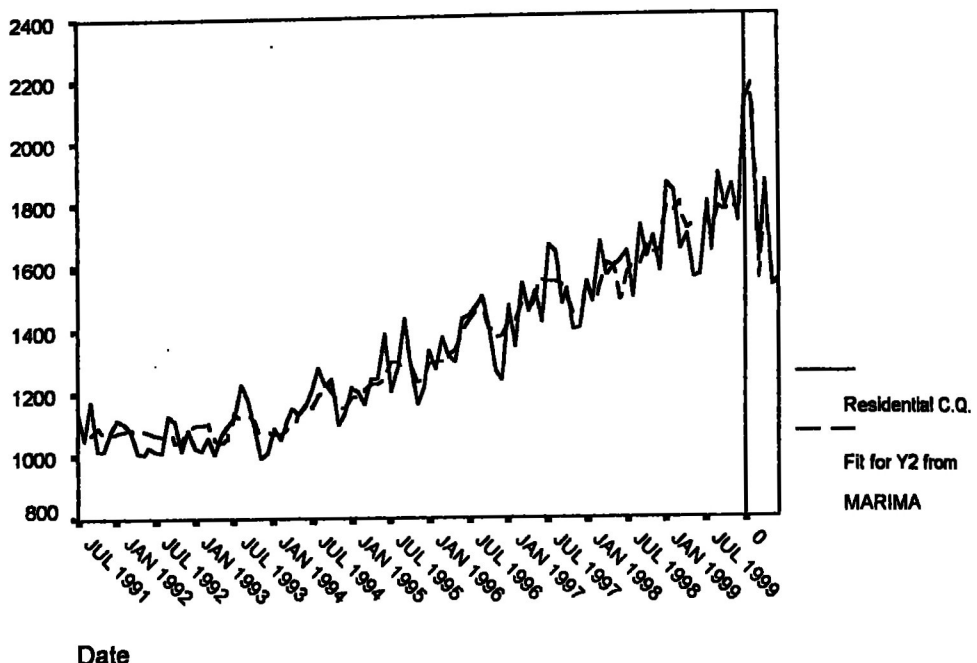
المتغيرات التفسيرية للتغيرات التي تحدث في المتغير التابع، تم استخدام معيار

$$\bar{R}^2 = 1 - \frac{RSE^2(MARIMA)}{RSE^2(ARIMA)}$$

$$\bar{R}^2 = 1 - \frac{(69.019)^2}{(129.722)^2} = 0.716$$

أى أن نموذج MARIMA فسر 71.9% من التغيرات غير المفسرة زيادة عن

نموذج ARIMA



شكل (١٠)

القيم التنبؤية والقيم الفعلية للكمية المستهلكة من الكهرباء في قطاع المنازل

النتائج والتوصيات:

أوضحت النتائج الإحصائية أن أهم المتغيرات التفسيرية المؤثرة في الكمية المستهلكة من الكهرباء هي عدد المشتركين الشهري (z_t) ومتوسط سعر الكيلو وات/ساعة في الشهر (x_t), وكان نموذج MARIMA الملائم للبيانات — باستخدام بيانات سلسلة زمنية من شهر يوليو ١٩٩١ إلى شهر ديسمبر ١٩٩٩ للكمية المستهلكة من الكهرباء — هو:

$$(1 - 0.33\beta^{12})(1 - \beta)y_t = 0.000229(1 - \beta)z_{t-1} - 13.46(1 - \beta)x_t + (1 - 0.97\beta)e_t$$

وقيمة $\bar{R}^2 = 0.924$

اعتمد البحث على بيانات سلسلة زمنية ولكن مما لا شك فيه إجراء دراسات أخرى باخذ عينة من الأسر يمكن أن يفيد في إضافة بعض المتغيرات الأخرى التي تؤثر في الكمية المستهلكة من الكهرباء مثل درجة تعلم رب الأسرة، عمر رب الأسرة، الدخل الشهري لرب الأسرة ، عدد الغرف في المنزل، ... وغير ذلك من المتغيرات، مما يفيد في عملية وضع

القرارات المستقبلية التي من شأنها ترشيد استهلاك الكهرباء. كذلك الاهتمام بسعر الكيلووات / ساعة ضد وضع الخطط المستقبلية حيث توجد علاقة عكسية بين السعر والكمية المستهلكة.

كما نوصي بنشر الوعى الاستهلاكي عن طريق توعية المواطنين بأهمية الكهرباء كدعاة للتنمية الاقتصادية والاجتماعية عن طريق مساهمة أجهزة الإعلام في شرح أبعاد هذه المشكلة والتائج المترتبة على قصور مصادر الطاقة في تلبية الاحتياجات المستقبلية.

ملحق رقم (١)

معيار المعلومات الأكايكى ومعيار بيز لشوارتز

Akaike information Criterion (AIC) معيار المعلومات الأكايكى

Schwartz bayesian Criterion (SBC) ومعيار بيز لشوارتز

والصيغة المستخدمة في حسابهما:

$$AIC = n \ln (Residual Sum of Squares) + 2k$$

$$SBC = n \ln (Residual Sum of Squares) + k \ln (n)$$

حيث: k : عدد المعلمات المقيدة في النموذج، n : عدد المشاهدات المتاحة

وللمقارنة بين نموذجين فإننا نفضل النموذج ذو القيم الأقل لكلا المعيارين، وعند استخدام هذان المعياران للمقارنة بين النماذج البديلة فيجب تغيرهما على نفس فترة العينة (أي يجب أن تكون n ثابتة)، وكما هو معروف فإن زيادة عدد حدود الانحدار يؤدي إلى زيادة قيمة (k) ولكن في نفس الوقت يؤدي إلى انخفاض قيمة SSR ، وبالتالي فإذا كانت حدود الانحدار ليس لها قوءة تفسيرية فإن إضافتها للنموذج يؤدي إلى زيادة (k) فقط وبالتالي زيادة قيمة كلا من المعيارين السابقين SBC ، AIC .

حيث أن $\ln (n)$ تكون في الغالب أكبر من (2) فأن معيار SBC دائمًا يختار نموذج أقل في عدد المعلمات More parsimonious من المعيار AIC .

ملحق رقم (٢)

تنقية البيانات Pewhitening the data

حتى نتمكن من الحصول على معلومات مقيدة في التعرف على نموذج دالة التحويل باستخدام معاملات الارتباط المستعرض، فإنه من المفضل تنقية البيانات قبل حساب معاملات الارتباط المستعرض. للتخلص من الارتباط داخل كل سلسلة، والحصول على درجات كثیرات الحدود بطريقة أكثر سهولة مما يحدث عند استخدام البيانات الأصلية. وتمثل عملية تنقية البيانات كما عرضها Stephen Mills(1990) في الخطوات التالية:

١- الحصول على نموذج ARIMA الملائم لسلسلة المتغير المستقل x_t

$$\phi_x(\beta) \nabla^d X_t = \delta + \theta_x(\beta) \alpha_t$$

ومن ثم يمكن معرفة سلسلة الباقي α_t .

٢- الحصول على نموذج ARIMA الملائم لسلسلة المتغير التابع y_t باستخدام نفس المرشح

$$\phi_y(\beta) \nabla^d Y_t = \delta + \theta_y(\beta) \eta_t$$

ومن ثم يمكن معرفة سلسلة الباقي η_t .

٣- حساب دالة الارتباط المستعرض بين α_t و η_t ، حيث تلعب دالة الارتباط المستعرض دور مهم في التعرف على دالة التحويل بين y_t و x_t .

المراجع:

أولاً: المراجع العربية:

١- د. عبد المرضى حامد عزام، تعریف لكتاب "السلسلات الزمنية من الوجهة التطبيقية ونماذج بوكس جنكينز" دار المريخ – السعودية – ١٩٩٢.

٢- د. عبد القادر محمد عبد القادر، "طرق قياس العلاقات الاقتصادية" دار الجامعات المصرية – الإسكندرية – ١٩٩٠.

٣- د. محمد عبد السميم عنانى، "مبادئ الاقتصاد القياسي النظري والتطبيقي" الزقازيق –

ثانياً: المراجع الأجنبية:

- 1-BOX,G.E.P.& JENKINS,G.M.(1976).Time Series Analysis, Forecasting and Control 2nd edition. San Francisco Holden -Day.
- 2-BRUBACHER,S.R. & WILSON,G.T. (1976). Interpolating Time Series With Application to The Estimation of Holiday Effects of Electricity Demand Appl. Statist.,25,2,107 –116.
- 3-ENANY, M.A.S.A. (1989). Forecasting Consumption Using Regression and Time Series Analysis: An Application with Extension.14th INT. Conf. for Stat., Comp. & Demo. Res., Cairo 25-30 March.
- 4-ENDERS, W. (1995). Applied Econometric Time Series New York John Wiley & Sons, Inc.
- 5-ENDERS,W. (1996). Rats Hand Book for Econometric Time Series New York John Wiley & Sons. Inc.
- 6-MARC,N. ,DAVID,M.& JOSE,L. (1995). Analysis of Economic Time Series Academic Press. Inc.
- 7-MERS,R.H. (1990). Classical and Modern Regression With Applications Paws -Kent Co.
- 8- MERVAT,M. & MOSTAFA, y. (1999). Forecasting Electricity Consumption in the Residential Sector in Egypt. Journal for Commercial Studies. Zagazig University, vol. 21.
- 9-MILLS,T.C. (1992). Time Series Techniques for Economists Cambridge University Press.
- 10-PANKRATZ,A. (1983) Forecasting With Univariate Box- Jenkins Models John Wiley & Sons.
- 11-POLE, A. WEST M.&JEFFHARRISON,J. (1994). Applied Bayesian Forecasting and Time Series Analysis Chapman & Hall.
- 12-ROBERT,S.P.& DANIEL,L.R. (1991). Econometric Models and Economic Forecasts, International Edition. McGraw- Hill, Inc.
- 13-STEPHEN.A.DELURGIO (1998). Forecasting Principles and Applications. First Edition. McGraw- Hill, Inc.